

FIG. 1

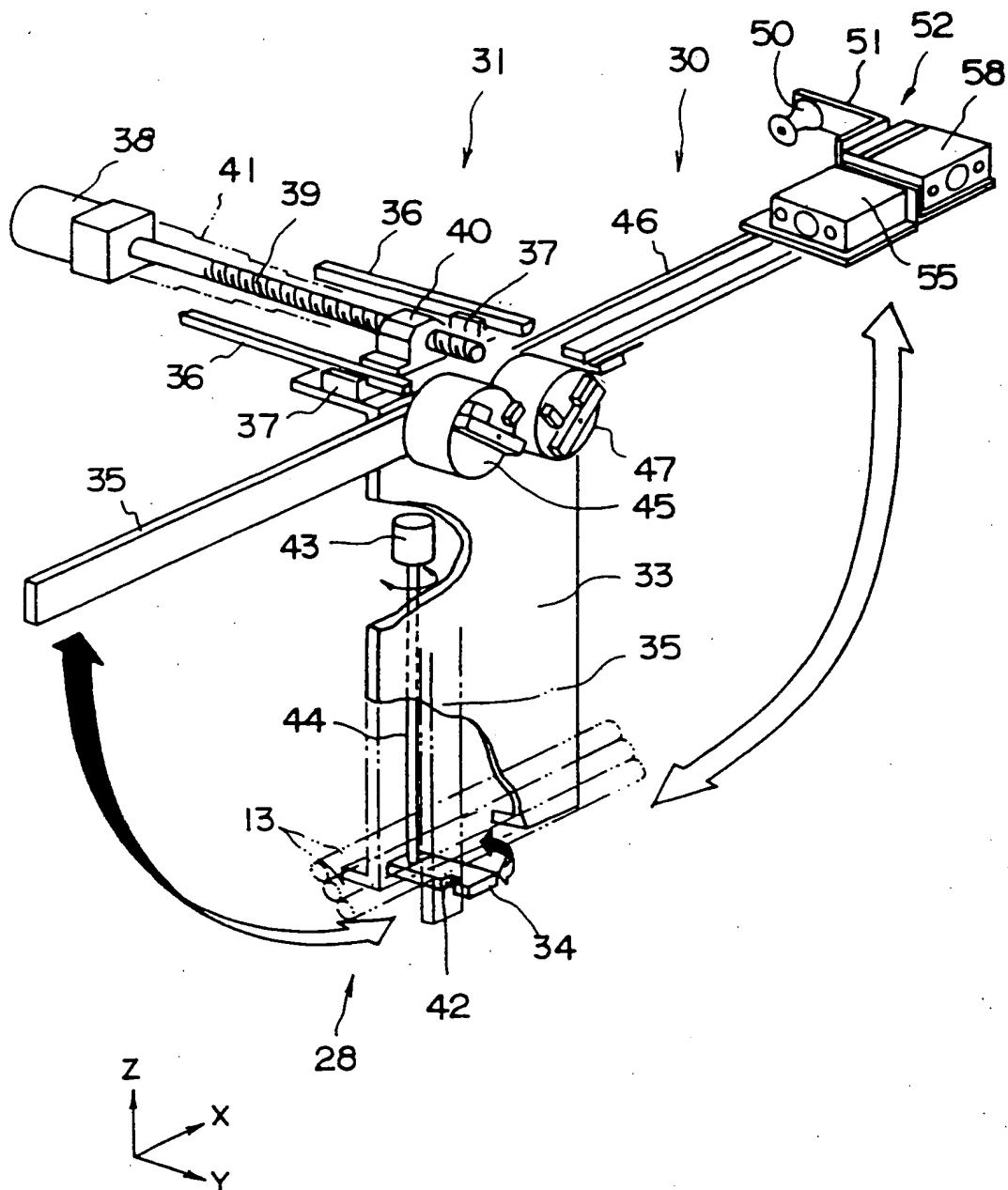


FIG. 2

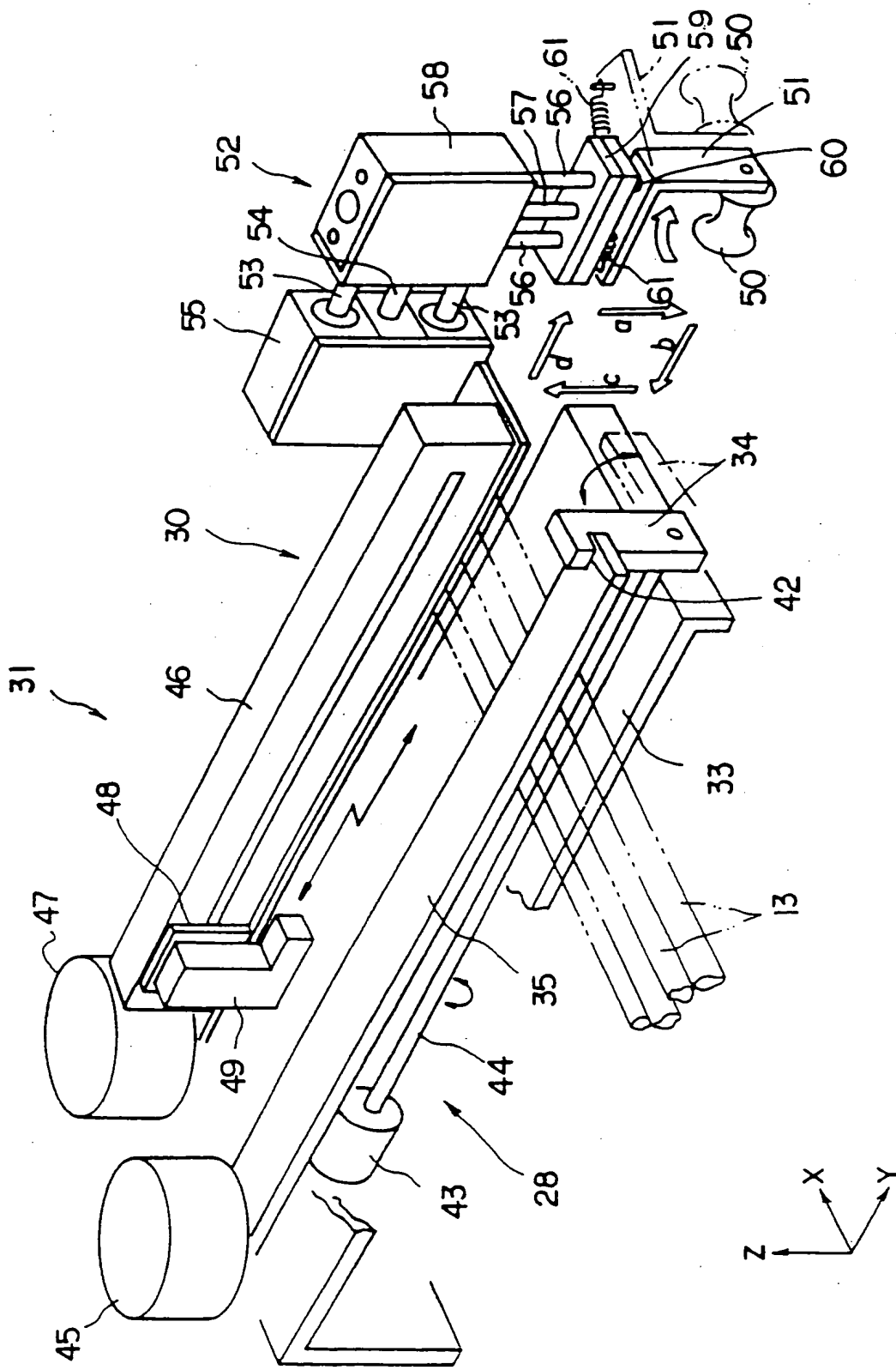


FIG. 3

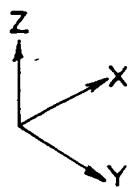
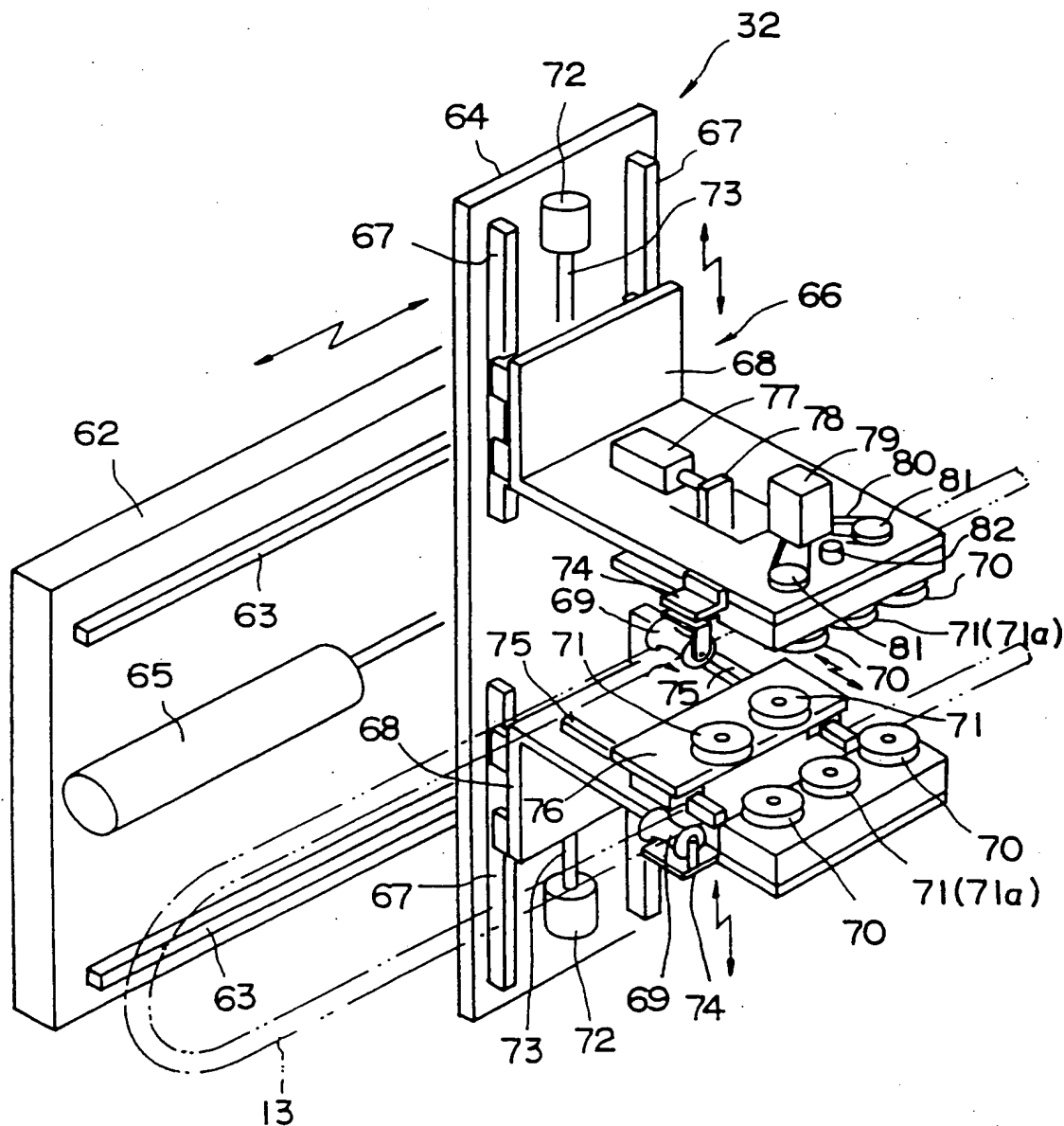


FIG. 4

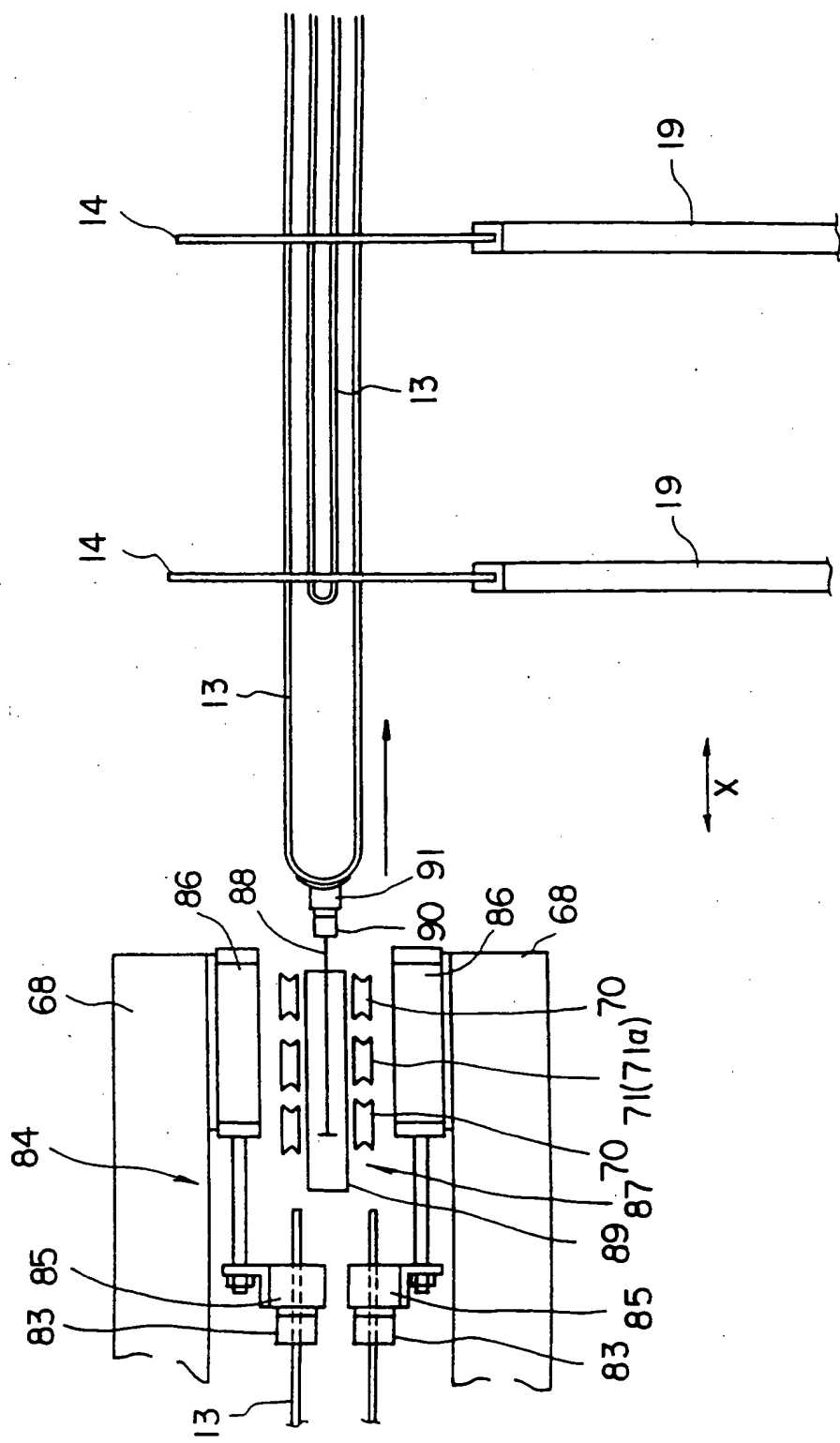


FIG. 5

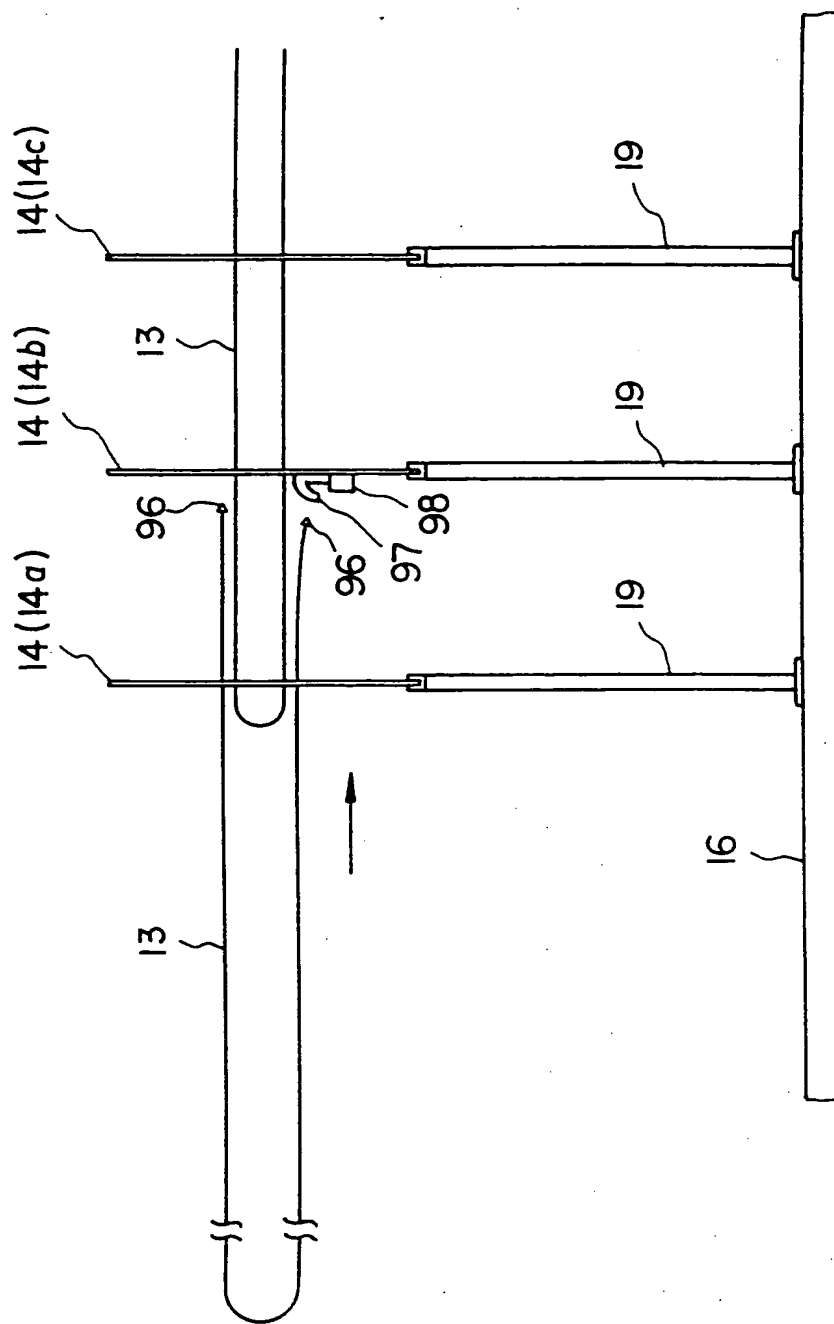


FIG. 6

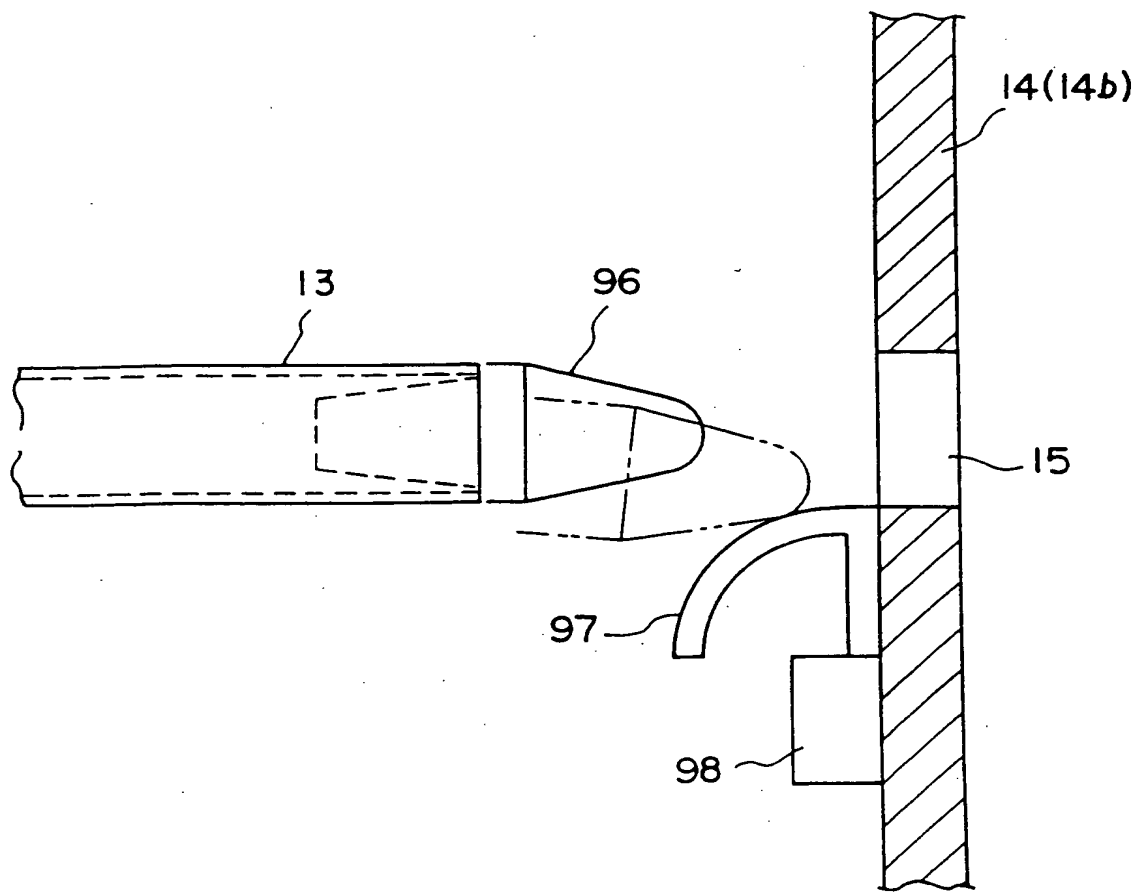


FIG. 7

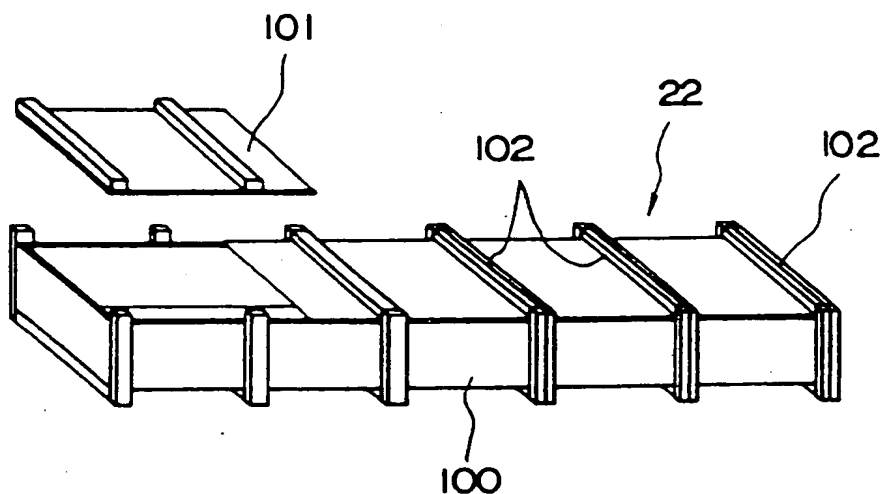


FIG. 8

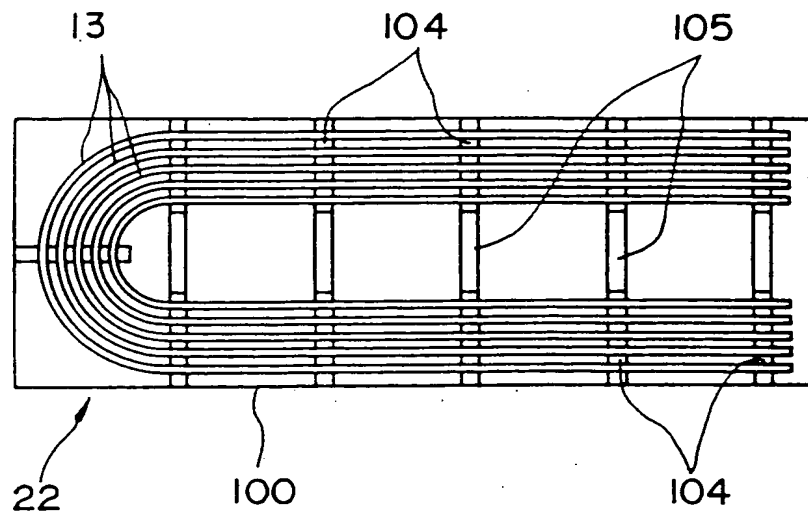


FIG. 9

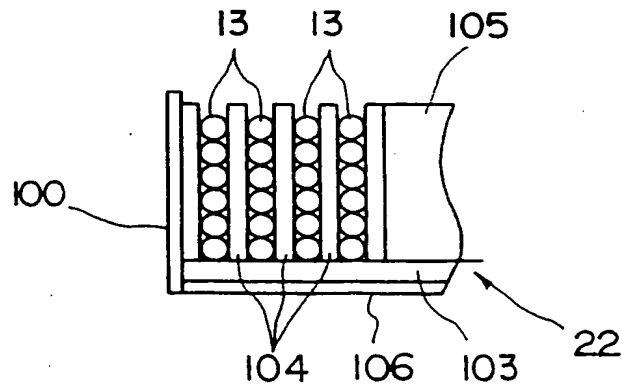


FIG. 10

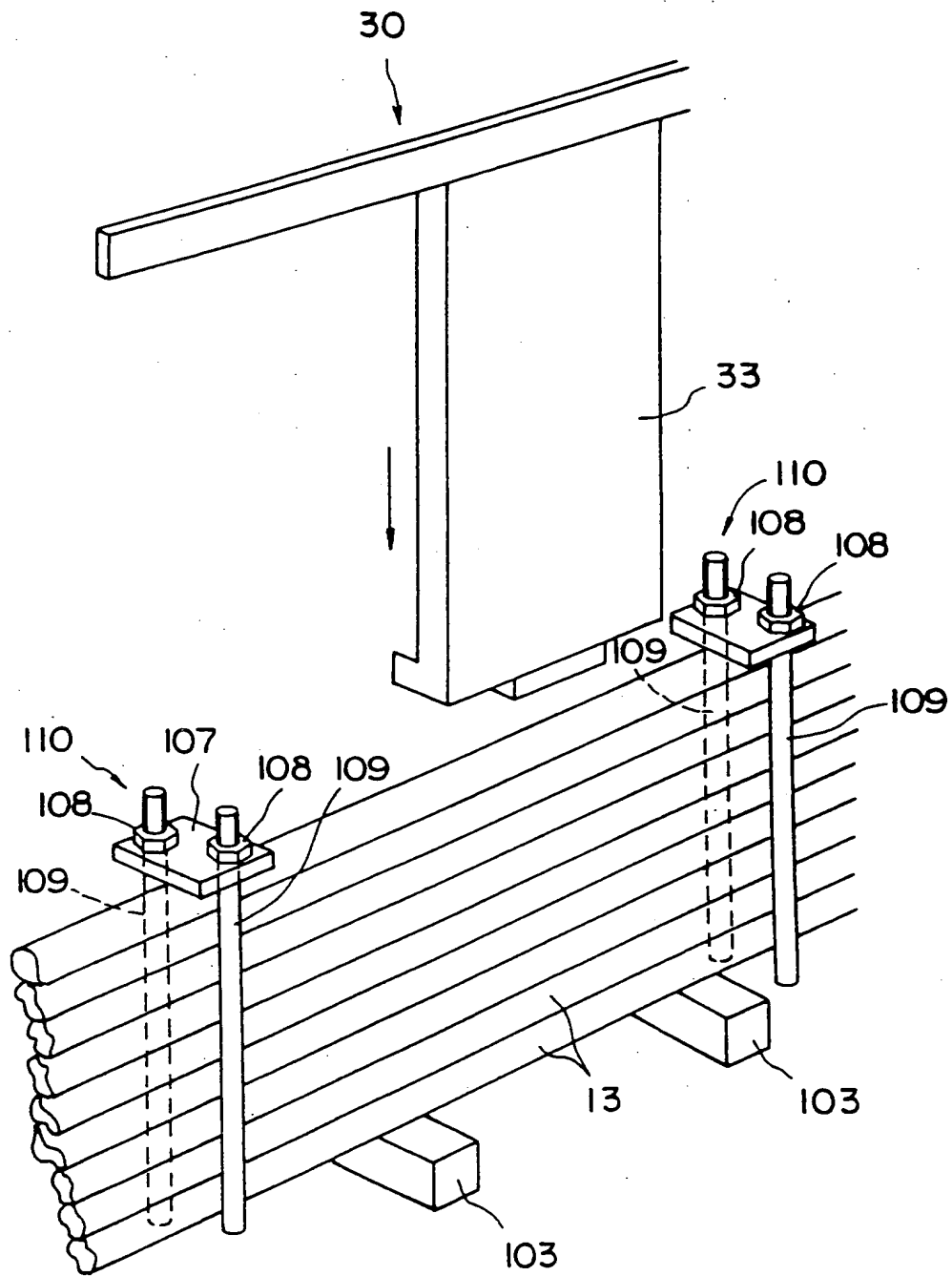


FIG. 11

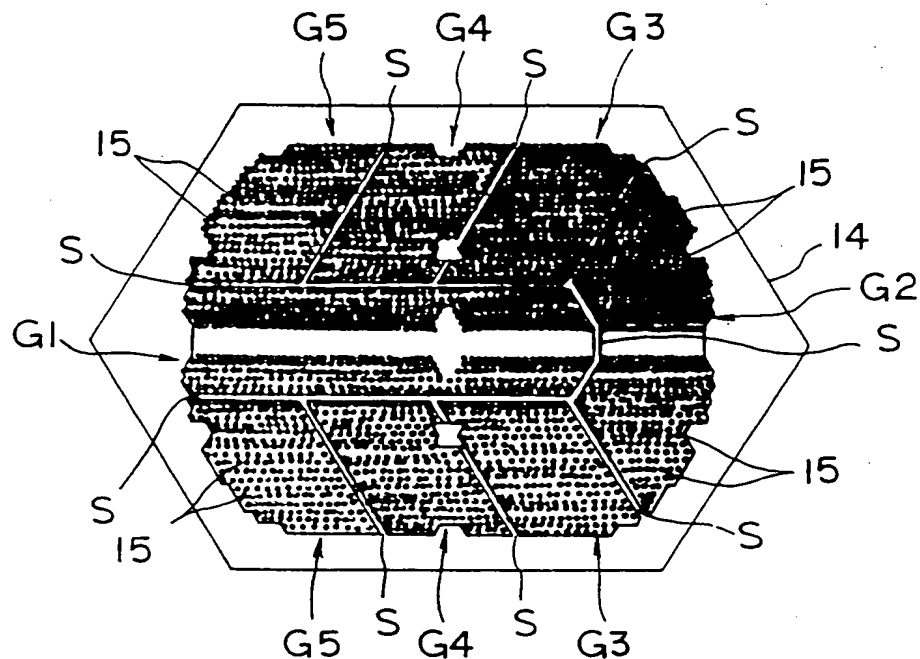


FIG. 12

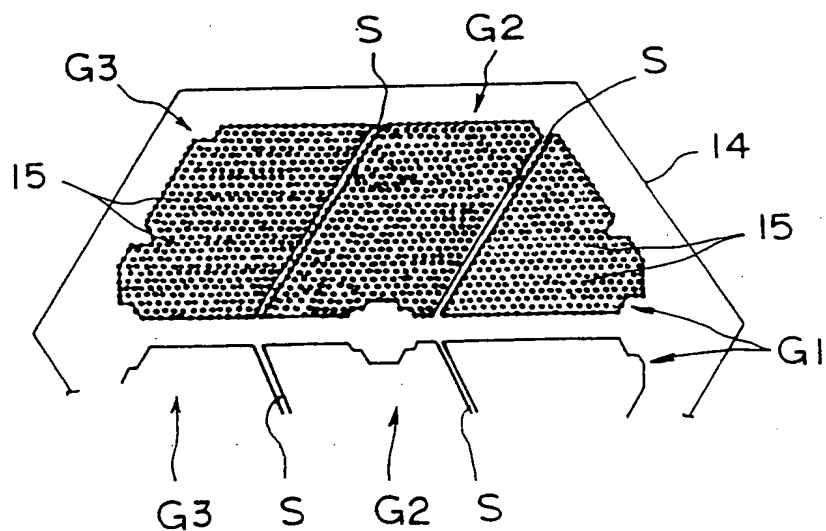


FIG. 13

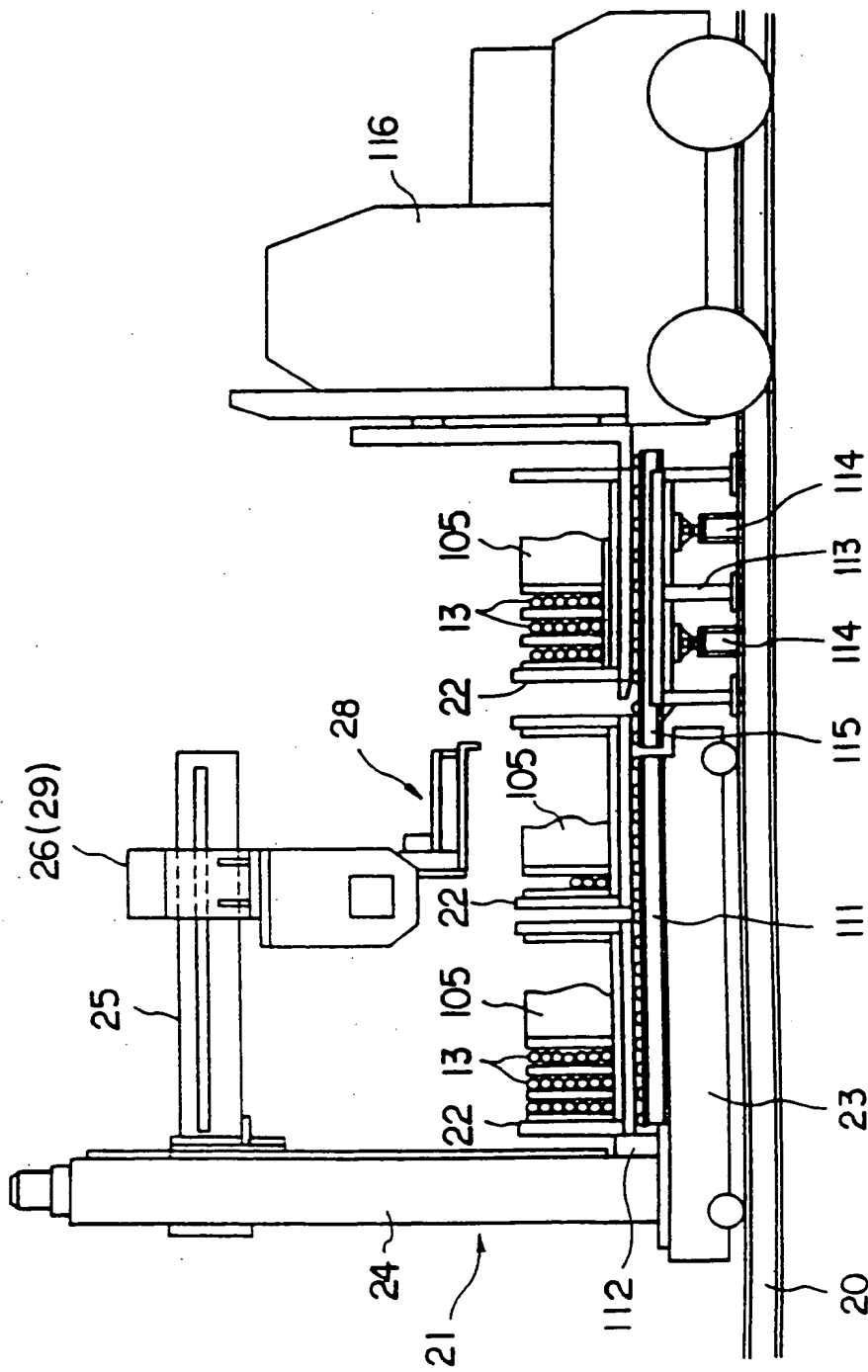


FIG. 14

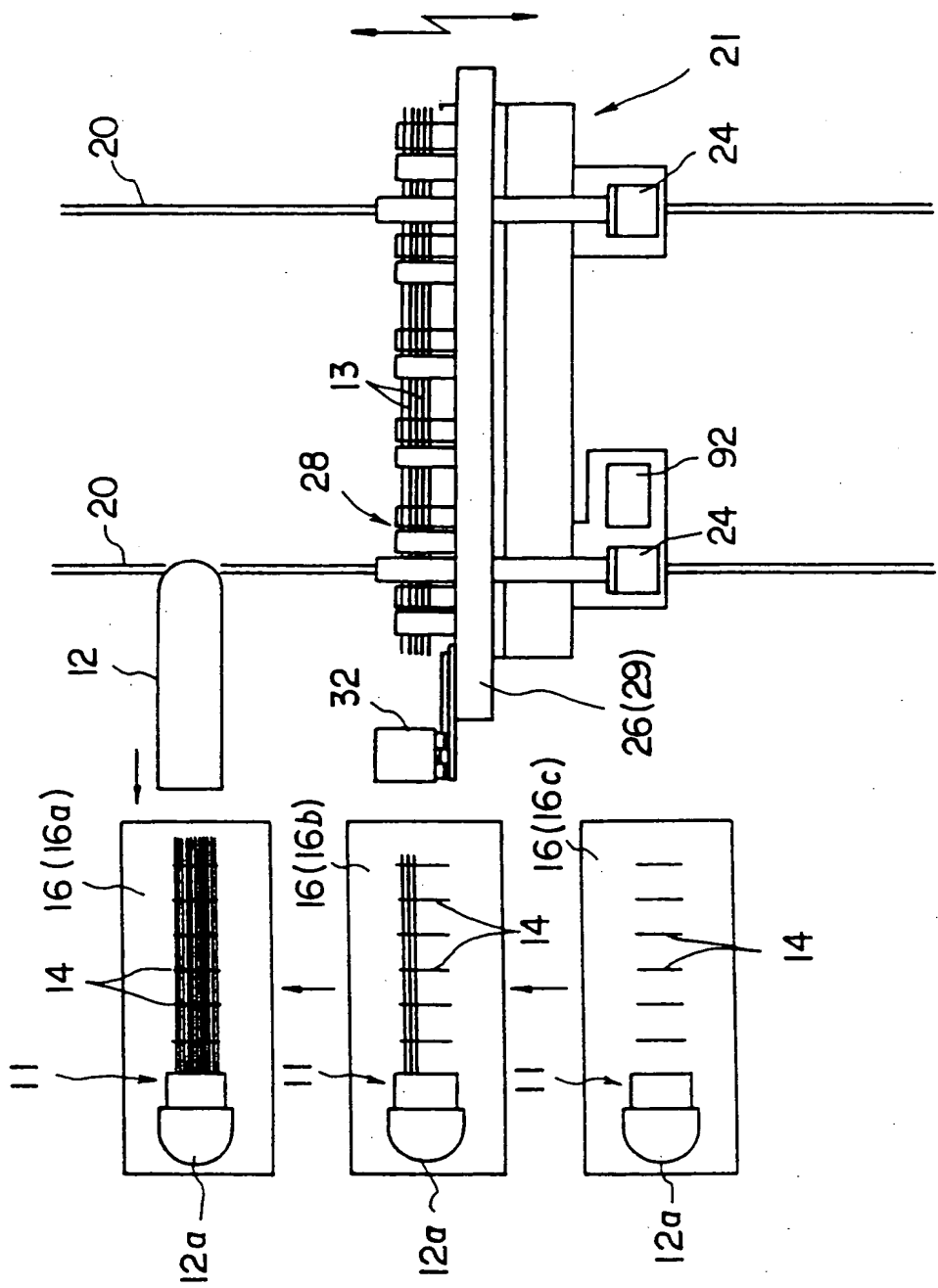


FIG. 15

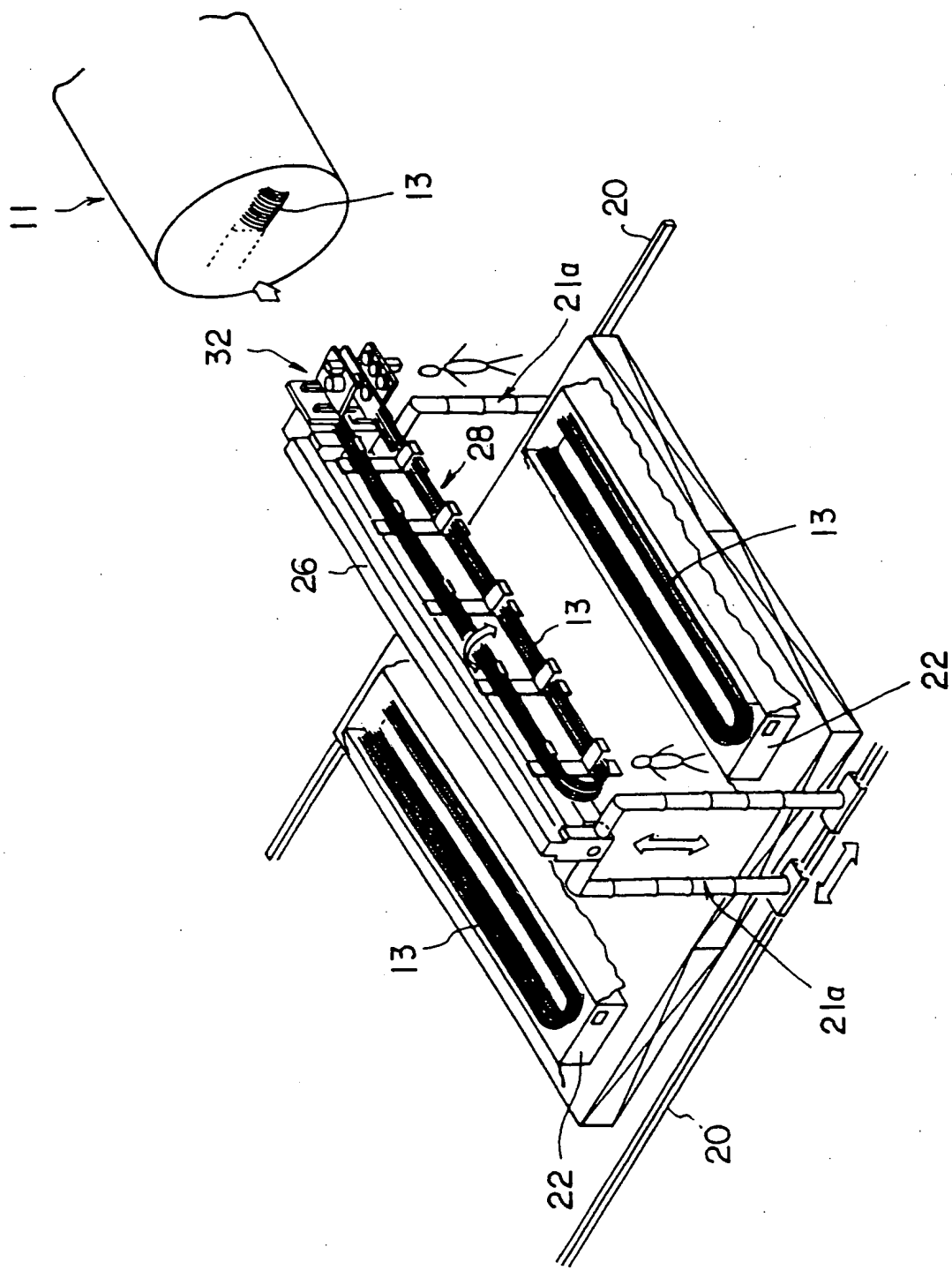


FIG. 16

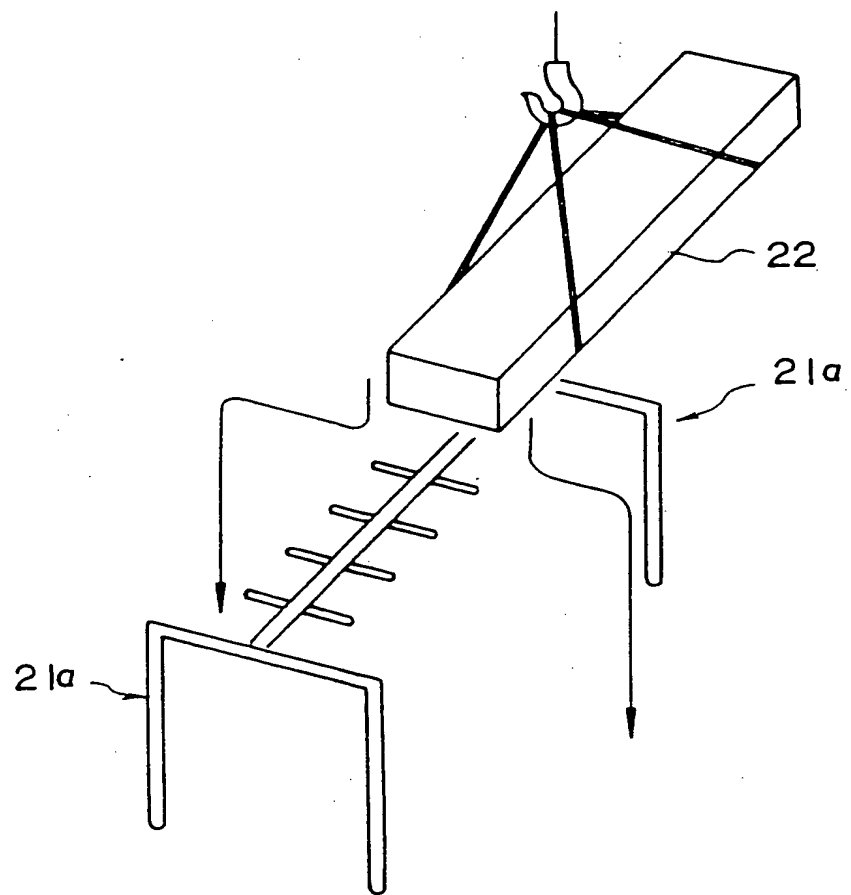


FIG. 17

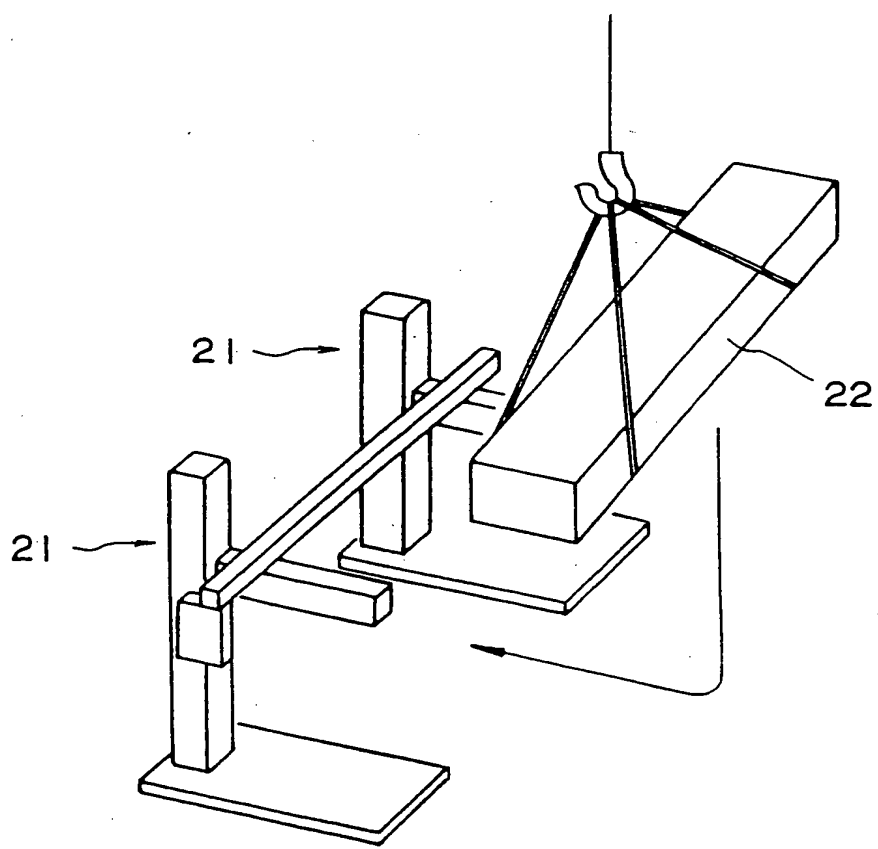


FIG. 18

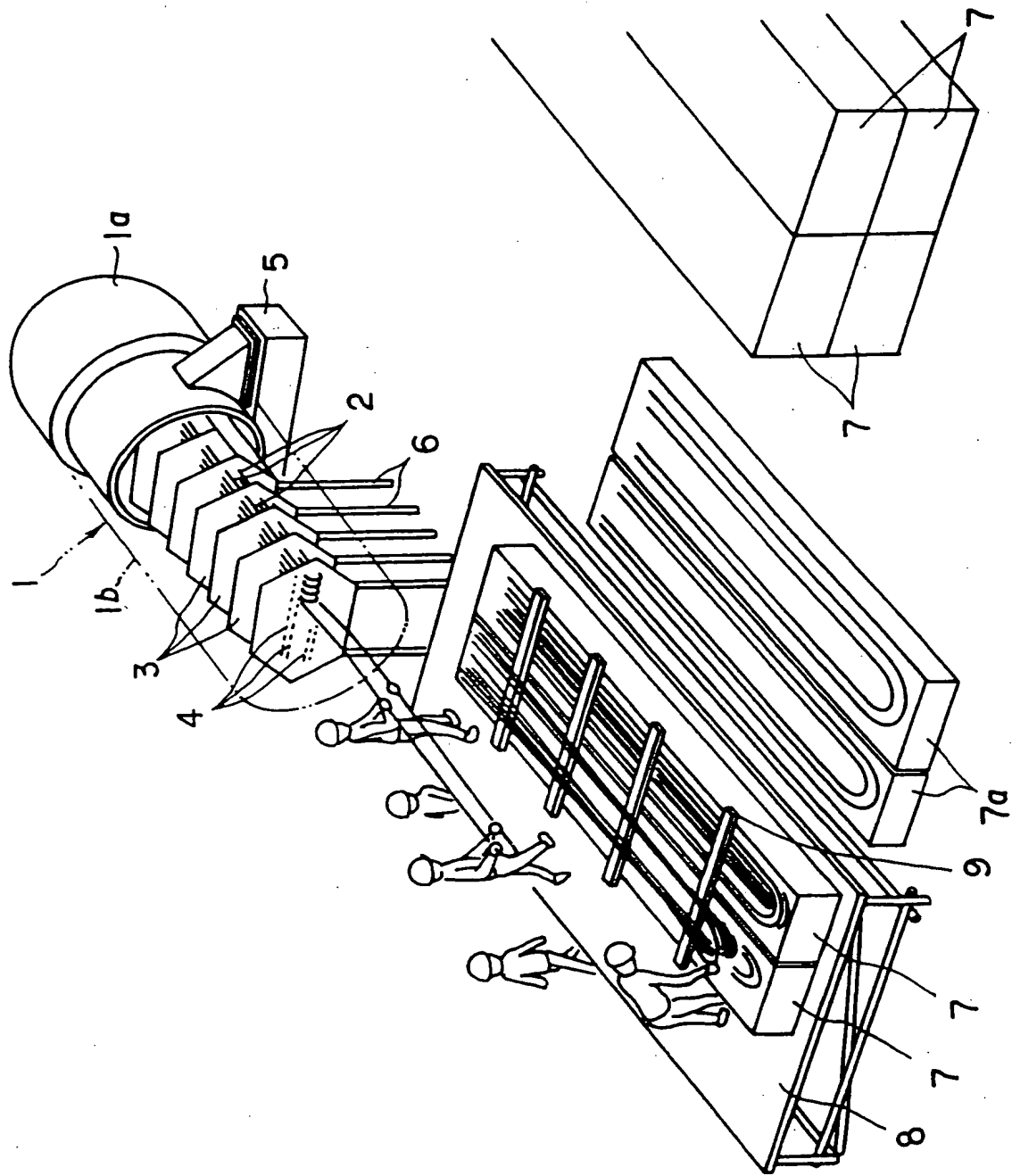


FIG. 19
PRIOR ART

OBLON, SPIVAK, ET AL
DOCKET #:245187US3CONT
INV: Yoshiharu Tokunaga et al.
SHEET 18 OF 19

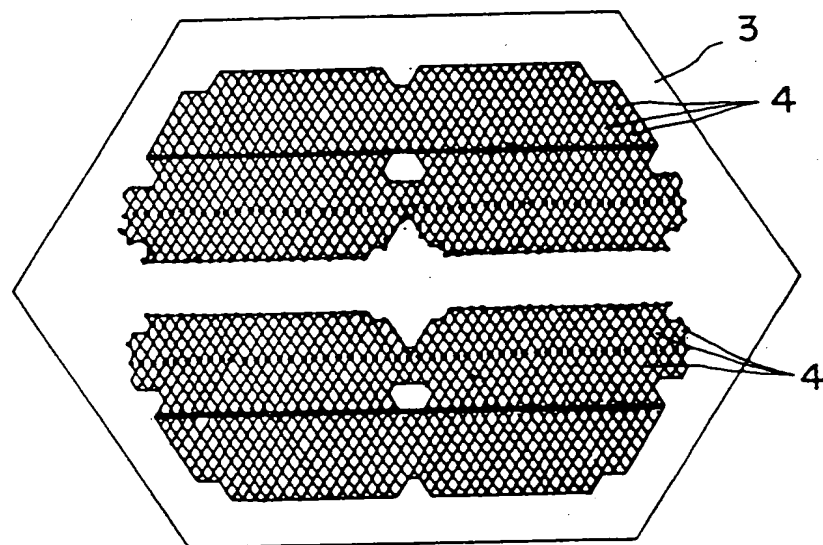


FIG. 20
PRIOR ART

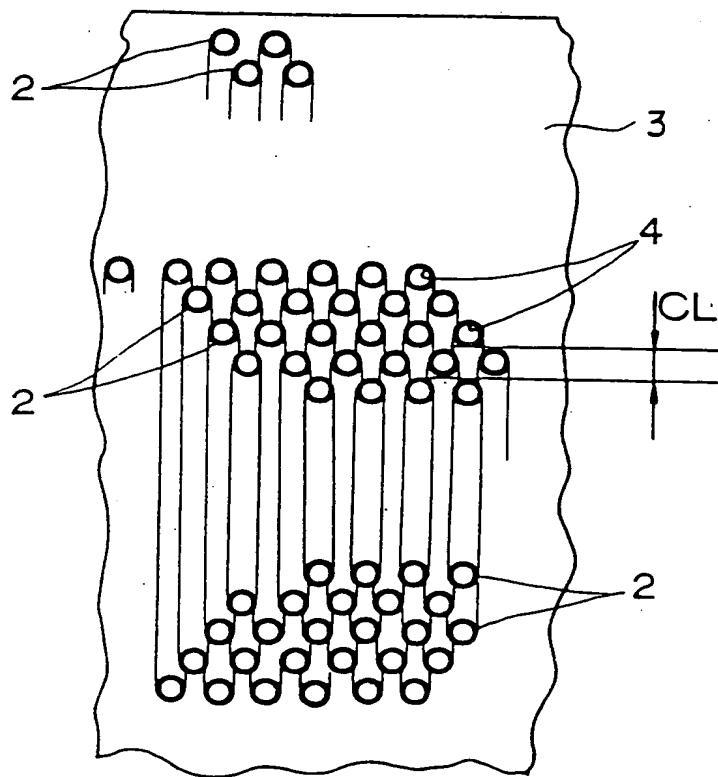


FIG. 21
PRIOR ART

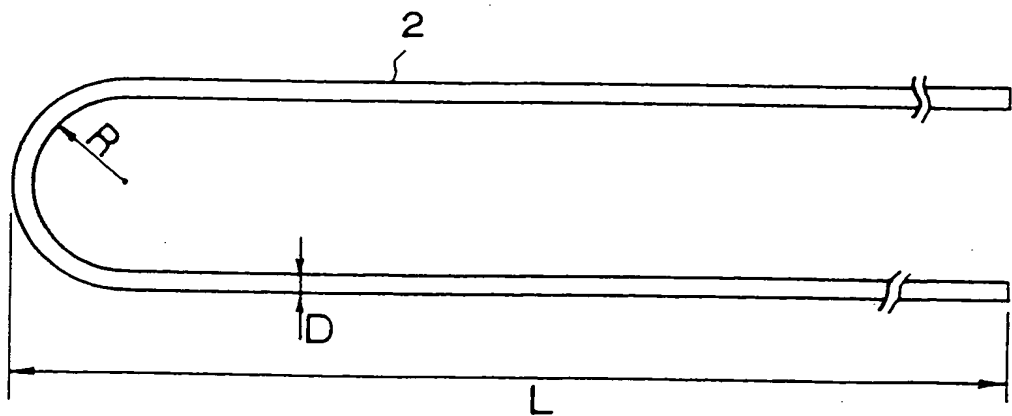


FIG. 22
PRIOR ART